

神经网络求 ODE 和 PDE 数值解

NN for solve ODE and PDE

学生：唐国鑫

导师：孙峪怀

SICNU 数学科学学院

2021 年 5 月 5 日

目录

1 微分方程数值解的方法

2 NN 的训练

3 仿真

4 总结与展望

微分方程的一般数值解法

差分方法

- Euler 方法
- Taylor 级数法
- Runge-Kutta 方法
- 线性多步法
- Adams 格式
- Gear 格式
- ...

其它方法

- 有限元法

微分方程的神经网络解法

神经网络可以认为是一个强大的函数逼近器，通过最小化损失函数来训练整个网络，下图展示了 CNN 的拓扑结构 [1]:

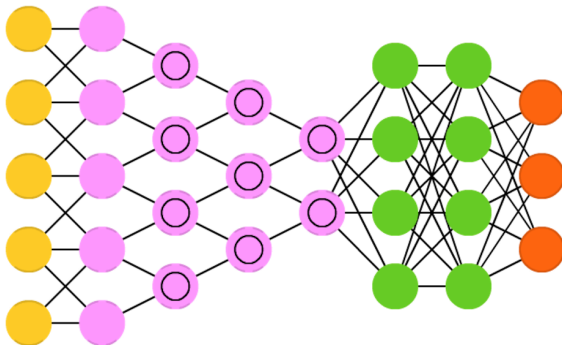


图 1: 卷积神经网络: CNN

微分方程的一般形式

连续形式

$$G(\vec{x}, \Psi(\vec{x}), \nabla \Psi(\vec{x}), \nabla^2 \Psi(\vec{x}), \dots) = 0, \vec{x} \in D \quad (1)$$

其中, $\vec{x} = (x_1, \dots, x_n) \in R^n, D \subset R^n$.

离散形式

$$G(\vec{x}_i, \Psi(\vec{x}_i), \nabla \Psi(\vec{x}_i), \nabla^2 \Psi(\vec{x}_i), \dots) = 0, \forall \vec{x}_i \in \hat{D} \quad (2)$$

寻找损失函数

如果 $\Psi_t(\vec{x}, \vec{p})$ 是微分方程(2)的一个试解, 那么求解微分方程数值解转化为下面的问题 [2]:

Loss Function

$$\min_{\vec{p}} \sum_{\vec{x}_i \in \hat{D}} G(\vec{x}_i, \Psi_t(\vec{x}_i, \vec{p}), \nabla \Psi(\vec{x}_i, \vec{p}), \nabla^2 \Psi(\vec{x}_i, \vec{p}), \dots)^2 \quad (3)$$

其中, \vec{p} 是神经网络的参数

试解的构造

$$\Psi_t(\vec{x}) = A(\vec{x}) + F(\vec{x}, N(\vec{x}, \vec{p})) \quad (4)$$

其中, $N(\vec{x}, \vec{p})$ 表示我们的神经网络 (NN), \vec{x} 为输入, \vec{p} 为网络参数。 A 和 F 为满足边界的辅助函数。

试解的构造方法

试解的构造形式

$$\Psi_t(\vec{x}) = A(\vec{x}) + F(\vec{x}, N(\vec{x}, \vec{p})) \quad (5)$$

例如，对于下式常微分方程：

$$\frac{d^2}{dx^2} \Psi + \frac{1}{5} \frac{d}{dx} \Psi + \Psi = -\frac{1}{5} e^{-\frac{x}{5}} \cos x \quad (6)$$

边界和初值为： $\Psi(0) = 0$, $\frac{d}{dx} \Psi(0) = 1$ 且 $x \in [0, 2]$ 。我们构造的试解如下：

$$\Psi_t(x) = x + x^2 N(x, \vec{p}) \quad (7)$$

解析解为：

$$\Psi(x) = e^{-\frac{x}{5}} \sin(x) \quad (8)$$

目录

1 微分方程数值解的方法

2 NN 的训练

3 仿真

4 总结与展望

模型说明

为了用神经网络求解微分方程，我们构造了如下的多层感知机 (MLP) 模型：

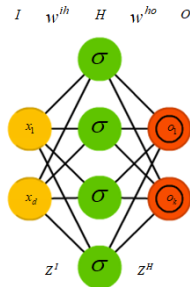


图 2: MLP 模型

参数说明

- 1 输入/隐含/输出层：H/I/O
- 2 权重： w^{ih}/w^{ho}
- 3 I 层输入： $I = [x_1, x_2, \dots, x_d]$
- 4 H 层输入： $Z^I = Xw^{ih}$
- 5 H 层输出： $H = [h_1, h_2, \dots, h_h]$
- 6 O 层输入： $Z^H = Hw^{ho}$
- 7 O 层输出： $O = [o_1, o_2, \dots, o_k]$
- 8 激活函数： $\delta(X) = 1/(1 + e^{-X})$

训练方法

神经网络的训练方法有很多，包括：

常见训练方法

- 1 BP
- 2 SGD
- 3 ADAM
- 4 BFGS
- 5 LBFGS
- 6 ...

接下来我们主要推导 BP 算法，事实上，BP 算法就是梯度下降法。

BP 算法

Algorithm 1 BP 算法

Require: $X, \eta, \varepsilon, MaxIter$ and (4)

Ensure: w^{ih} and w^{ho}

- 1: **repeat**
 - 2: 计算 $I = [x_1, x_2, \dots, x_d]$
 - 3: 计算 H 层输入: $Z^I = Xw^{ih}$
 - 4: 计算 H 层输出: $H = [h_1, h_2, \dots, h_h]$
 - 5: 计算 O 层输入: $Z^H = Hw^{ho}$
 - 6: 计算 O 层输出: $O = [o_1, o_2, \dots, o_k]$
 - 7: 更新 O 层与 H 层之间的梯度 $w^{ho} = w^{ho} + \eta \nabla w^{ho}$
 - 8: 更新 H 层与 I 层之间的梯度 $w^{ih} = w^{ih} + \eta \nabla w^{ih}$
 - 9: **until** 是否满足 $MaxIter$ 或 ε
 - 10: **return** w^{ih} and w^{ho}
-

BP 算法的推导

在整个算法中，我们需要求解的参数有：

隐含层与输出层之间的权重 w^{ih}

$$w^{ih} = \begin{bmatrix} w_{11}^{ih} & \cdots & w_{1h}^{ih} \\ \vdots & \ddots & \vdots \\ w_{d1}^{ih} & \cdots & w_{dh}^{ih} \end{bmatrix}_{d \times h} \quad (9)$$

输入层与隐含层之间的权重 w^{ho}

$$w^{ho} = \begin{bmatrix} w_{11}^{ho} & \cdots & w_{1k}^{ho} \\ \vdots & \ddots & \vdots \\ w_{h1}^{ho} & \cdots & w_{hk}^{ho} \end{bmatrix}_{h \times k} \quad (10)$$

输入层输出

$$X = [x_1 \quad \cdots \quad x_d] \quad (11)$$

隐含层输入

$$Z_H^{in} = Xw^{ih} \quad (12)$$

隐含层输出

$$H = \delta(Z_H^{in}) \quad (13)$$

输出层输入

$$Z_O^{in} = Hw^{ho} \quad (14)$$

输出层输出

$$O = g(Z_O^{in}) \quad (15)$$

损失函数

$$L = \frac{1}{2} (O - Y)(O - Y)^T \quad (16)$$

其中, Y 为实际输出。

w^{ho} 的更新

对 w^{ho} 求偏导:

$$\frac{\partial L}{\partial w_{hk}^{ho}} = \frac{\partial L}{\partial O_k} \frac{\partial O_k}{\partial g} \frac{\partial g}{\partial Z_O^{in}} \frac{\partial Z_O^{in}}{\partial w_{hk}^{ho}} = L_k g' H_h \quad (17)$$

引入学习率 η :

$$\Delta w_{hk}^{ho} = -\eta L_k g' H_h \quad (18)$$

引入局部梯度的定义:

定理 1

局部梯度

$$\gamma_O^k = \frac{\partial L}{\partial O_k} \frac{\partial O_k}{\partial g} \frac{\partial g}{\partial Z_O^{in}} = L_k g' \quad (19)$$

权值修正量:

$$\Delta w_{hk}^{ho} = -\eta \gamma_O^k H_h \quad (20)$$

w^{ih} 的更新

同 w^{ho} 的计算, 我们应有:

$$\frac{\partial L}{\partial w_{dh}^{ih}} = \gamma_H^h X_d = \frac{\partial L}{\partial H_h} \frac{\partial H_h}{\partial \sigma} \frac{\partial \sigma}{\partial Z_H^{in}} X_d = \frac{\partial L}{\partial H_h} \sigma' (Z_H^{in}) X_d \quad (21)$$

注意到隐含层的一个权值会影响到输出层的 k 个权值, 那么:

$$\frac{\partial L}{\partial H_h} = \sum_{j=i}^k \gamma_O^j w_{hj} \quad (22)$$

权值修正量:

$$\Delta w_{dh}^{ih} = -\eta \sum_{j=i}^k \left(\gamma_O^j w_{hj} \right) \sigma' X_d \quad (23)$$

其中, $\sigma' = \sigma(1 - \sigma)$.

目录

1 微分方程数值解的方法

2 NN 的训练

3 仿真

4 总结与展望

一个例子

Example

$$\frac{d}{dx}\Psi + \left(x + \frac{1 + 3x^2}{1 + x + x^3}\right)\Psi = x^3 + 2x + x^2 \frac{1 + 3x^2}{1 + x + x^3} \quad (24)$$

condition

$$\begin{cases} \Psi(0) = 1 \ (x \in [0, 1]) \\ \Psi_a(x) = \frac{e^{-x^2/2}}{1+x+x^3} + x^2 \end{cases} \quad (25)$$

构造试解

$$\Psi_t(x) = 1 + xN(x, \vec{p}) \quad (26)$$

算法实现

```
1 W = [npr.randn(1, 10), npr.randn(10, 1)]
2 lmb = 0.001
3 for i in range(1000):
4     loss_grad = grad(loss_function)(W, x_space)
5     W[0] = W[0] - lmb * loss_grad[0]
6     W[1] = W[1] - lmb * loss_grad[1]
7     Iprint(loss_function(W, x_space))
8 res = [1 + xi * neural_network(W, xi)[0][0] for
        xi in x_space]
9 print(W)
10 plt.plot(x_space, y_space)
11 plt.plot(x_space, psy_fd)
12 plt.plot(x_space, res)
13 plt.show()
14 }
```

数值结果

我们将区间 10 等分，分别用欧拉方法和 NN 方法求解式(24)的数值解，结果如下图所示：

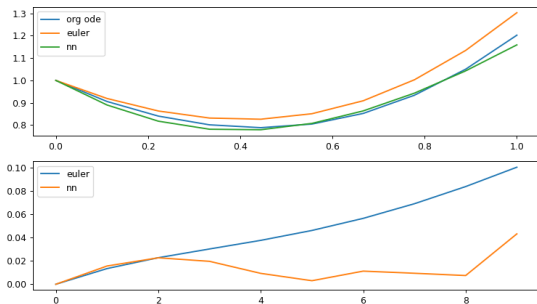


图 3: 真实解-Euler 解-NN 解

目录

1 微分方程数值解的方法

2 NN 的训练

3 仿真

4 总结与展望

结论

优势

- ① 无需在意差分格式的构造
- ② 可以达到极高的精度
- ③ 理论上随着神经元和隐含层的增多，损失函数的值趋于 0
- ④ 训练一个模型，可以解一类方程 [3]

劣势

- ① 针对简单的微分方程仍需多次迭代，此时收敛速度无法与差分方法相提并论
- ② 重点在于试解的构造
- ③ 不仅要求神经网络的导数，还要求试解的导数，这会导致第一点
- ④ 编程更为复杂

展望

神经网络在 PDE 上的应用

- 1 分子蛋白运动模拟 (上一次中科院研究员卢本卓老师 201 讲座, 未找到参考文献)
- 2 求解薛定谔方程 [4, 5]
- 3 神经网络不仅在数学工程, 而且在生物分子、物理化学都在发挥着更重要的作用

致谢

Thanks!

参考文献 I

- [1] I. Goodfellow, Y. Bengio, and A. Courville. Deep Learning. *Deep Learning*, 2016.
- [2] Lagaris et al. "Artificial neural networks for solving ordinary and partial differential equations." . In: *IEEE Transactions on Neural Networks* (1998).
- [3] Lu Lu, Pengzhan Jin, and George Em Karniadakis. "DeepONet: Learning nonlinear operators for identifying differential equations based on the universal approximation theorem of operators" . In: *CoRR abs/1910.03193* (2019). arXiv: 1910.03193. URL: <http://arxiv.org/abs/1910.03193>.
- [4] STXDETX Pfau et al. "Ab-Initio Solution of the Many-Electron Schrödinger Equation with Deep Neural Networks" . In: (2019).

参考文献 II

- [5] A Jh, A Lz, and C Weab. "Solving many-electron Schrdinger equation using deep neural networks - ScienceDirect" . In: *Journal of Computational Physics* 399 ().